

СООБЩЕНИЯ
ОБЪЕДИНЕННОГО
ИНСТИТУТА
ЯДЕРНЫХ
ИССЛЕДОВАНИЙ

ДУБНА



СЗУ5Л1
К-40

8/10-75

9 - 8807

Ким Ен Зун, З.Г.Гаврилова, Г.А.Иванов

2775/2-75

ИССЛЕДОВАНИЕ ДИНАМИКИ СГУСТКОВ
ЗАРЯЖЕННЫХ ЧАСТИЦ
В ШЕСТИКОМПОНЕНТНОМ ПОЛЕ
ЗАМЕДЛЕННОЙ ВОЛНЫ
В СПИРАЛЬНОМ ВОЛНОВОДЕ

1975

Ким Ен Зун, З.Г.Гаврилова, Г.А.Иванов

ИССЛЕДОВАНИЕ ДИНАМИКИ СГУСТКОВ
ЗАРЯЖЕННЫХ ЧАСТИЦ
В ШЕСТИКОМПОНЕНТНОМ ПОЛЕ
ЗАМЕДЛЕННОЙ ВОЛНЫ
В СПИРАЛЬНОМ ВОЛНОВОДЕ

В коллективном методе ускорения сложную проблему представляет вопрос синхронизации момента влета электронного кольца во внешнюю ускоряющую систему с напряженностью поля этой системы. Для случая высокочастотного ускорения необходима синхронизация момента влета кольца с фазой высокочастотного ускоряющего напряжения /фазировка/.

В работе /1/ был предложен способ автофазировки при использовании спиральной замедляющей системы. На основе численного счета была показана возможность получения коэффициента захвата $\approx 90\%$. При этом рассмотренное велось для утяжеленной частицы $\gamma_{\perp} 30$ с учетом одной компоненты ускоряющего поля.

В настоящей работе рассмотрена динамика одной частицы /электрона/ с учетом поперечного движения / $\gamma_{\perp} = 30$, $\psi \neq 0$ / в поле шести компонент электромагнитной волны замедляющей системы. При этом исследовались 2 случая $\psi > 0$, $\psi < 0$ при различных законах изменения фазовой скорости волны. Здесь ψ - азимутальный угол.

1. Электромагнитное поле в спиральном волноводе и уравнения движения одной частицы

Рассмотрим движение одной частицы в спиральном волноводе, в котором распространяются E- и H-волны. Компоненты напряженности электромагнитного поля волны, созданной в спиральном волноводе, хорошо известны /2/. В области $r < a$

$$E_z = E_0 J_0(k_1 r) \cos \psi,$$

$$E_{\psi} = -E_0 \operatorname{tg} \psi_h \frac{I_0(k_1 a)}{I_1(k_1 a)} I_0(k_1 r) \cos \psi, \quad /1-1/$$

$$E_r = \gamma_{\phi} E_0 J_1(k_1 r) \sin \psi,$$

$$H_z = - \frac{1}{\beta_\Phi \gamma_\Phi} \operatorname{tg} \psi_h \frac{I_0(k_1 a)}{I_1(k_1 a)} E_0 I_0(k_1 r) \sin \psi,$$

$$H_\phi = \gamma_\Phi \beta_\Phi E_0 I_1(k_1 r) \sin \psi,$$

$$H_r = \frac{1}{\beta_\Phi} \operatorname{tg} \psi_h \frac{I_0(k_1 a)}{I_1(k_1 a)} I_1(k_1 r) \cos \psi,$$

где β_Φ - фазовая скорость волны, деленная на c ; γ_Φ - релятивистский фактор волны; I_0 , I_1 - модифицированные функции Бесселя; ψ_h - угол намотки спирали; a - радиус спирали; ψ - фаза волны, в которой находится частица, т.е.

$$\psi = \tau - \int \frac{d\eta}{\beta_\Phi(\eta)} + \psi_0, \quad \tau = \omega t, \quad k_1 = \sqrt{k_0^2 - k_3^2}, \quad /1-2/$$

$k_3 = k/\beta_\Phi$; ω - угловая частота источника; ,
; k_0 - волновое число в свободном пространстве.

Уравнения движения отдельной частицы в полях вида /1-1/ следующие:

$$\frac{d\dot{\rho}}{d\tau} = \frac{A}{\gamma(\tau)} E_r + \frac{A}{\gamma(\tau)} (\rho \dot{\phi} H_z - \dot{\eta} H_\phi) + \rho \dot{\phi}^2 - \frac{\dot{\gamma} \dot{\rho}}{\gamma(\tau)},$$

$$\frac{d\dot{\phi}}{d\tau} = \frac{A}{\gamma(\tau)} E_\phi + \frac{A}{\gamma(\tau)} (\dot{\eta} H_r - \dot{\rho} H_z) - \frac{\dot{\phi} \dot{\gamma}(\tau)}{\gamma(\tau)} - 2\dot{\phi} \dot{\rho} / \rho,$$

$$\frac{d\dot{\eta}}{d\tau} = \frac{A}{\gamma(\tau)} E_z + \frac{A}{\gamma(\tau)} (\dot{\rho} H_\phi - \rho \dot{\phi} H_r) - \frac{\dot{\eta} \dot{\gamma}}{\gamma}, \quad /1-3/$$

$$\frac{d\dot{\gamma}}{d\tau} = E_z \dot{\eta} + E_r \dot{\rho} + E_\phi \rho \dot{\phi}.$$

Здесь $\eta = k_0 z$, , $\rho = k_0 r$, $\tau = \omega t$, $k_0 = \frac{\omega}{c}$,

$$\gamma(\tau) = \frac{1}{\sqrt{1 - \dot{\rho}^2 - \dot{\eta}^2 - (\rho \dot{\phi})^2}}, \quad A = \frac{e}{mc\omega}; \quad e - \text{заряд}$$

электрона; m - масса электрона; c - скорость света.

Для удержания частицы на постоянном радиусе необходимо добавить внешнее постоянное H_z поле, которое определяется следующим образом:

$$H_z = \frac{\dot{\phi}_0 \gamma(0)}{A}.$$

Выражения /1-1/, /1-2/, /1-3/ дают полное описание движения одной частицы в поле бегущей замедленной электромагнитной волны.

Заметим, что из третьего уравнения системы /1-3/ можно найти диапазон выбора синхронной фазы. С учетом для нашего случая неравенства

$$\dot{r} H_\phi \ll E_z \geq \rho \dot{\phi} H_r.$$

Имеем, что для $\eta > 0$ необходимо $\frac{A}{\gamma(\tau)} E_0 I_0(k_1 r) \cos \psi > 0$;

так как $A < 0$, то $\cos \psi$ должен быть отрицательным. Отсюда для ускорения

$$-3/2\pi < \psi < -\pi/2. \quad /1-4/$$

Аналогично, для случая торможения

$$-\pi/2 < \psi < \pi/2.$$

2. Постановка задачи

Задача состоит в том, чтобы частица, имеющая произвольную фазу, на входе фазирующей системы, в процессе движения в поле замедленной электромагнитной волны подтягивалась к фазе синхронной частицы. Диапазон начальных фаз равен 2π . Какая часть частиц из этого диапазона захватывается в режим устойчивых фазовых колебаний, характеризует коэффициент захвата $S = \frac{\Delta\psi_{BX}}{2\pi}$, где $\Delta\psi_{BX}$ - диапазон начальных фаз частиц, захваченных в режим устойчивых фазовых колебаний.

Эффективность затухания фазовых колебаний можно оценить длиной затухания L , на которой амплитуда огибающей колебаний уменьшается в e раз. Приемлемые S и длины затухания L определяются выбором оптимального закона изменения фазовой скорости волны.

Чтобы показать это, найдем уравнение фазового колебания в поле b компонент напряженности замедленной электромагнитной волны. Используя /1-2/, /1-3/, можно получить уравнение:

$$\ddot{\psi} + \frac{\dot{f}_s(\tau)}{\beta_\Phi(\tau)} \dot{\psi} + \frac{1}{\beta_\Phi} [f(\tau) - f_s(\tau)] = 0, \quad /2-1/$$

где

$$f_s(\tau) = \frac{A}{\gamma(\tau)} E_0 I_0(k_1 r) \cos \psi_s + \frac{A}{\gamma(\tau)} [\dot{\rho} H_{\phi 0} \sin \psi_s - \rho \dot{H}_r \cos \psi_s] - \frac{\dot{\gamma} \dot{\eta}_s}{\gamma} - \text{ускорение синхронной частицы};$$

$$f(\tau) = \frac{A}{\gamma(\tau)} E_0 I_0(k_1 r) \cos \psi + \frac{A}{\gamma(\tau)} [\dot{\rho} H_{\phi} \sin \psi - \rho \dot{H}_r \cos \psi] - \frac{\dot{\eta} \dot{\gamma}}{\gamma} - \text{ускорение несинхронной частицы}.$$

Для небольших отклонений уравнение /2-1/ можно записать следующим образом:

$$\frac{d}{d\tau} \left[\beta_\psi(\tau) \frac{d\xi}{d\tau} \right] + K(\tau) \xi = 0, \quad /2-2/$$

$$K(\tau) = \frac{A}{\gamma(\tau)} [E_{z0} \sin \psi_s - H_{\phi 0} \dot{\rho}_s \cos \psi_s - \rho \dot{H}_{r0} \sin \psi_s],$$

$\xi = \psi - \psi_s$, $H_{\phi 0}$, E_{z0} , H_{r0} - амплитуда напряженности поля волны в начальный момент.

Если $K(\tau)$ и $\beta_\Phi(\tau)$ удовлетворяют условию адиабатичности:

$$-\lambda \frac{d\beta_\Phi}{d\tau} \ll \beta_\Phi(\tau),$$

$$\lambda \frac{d}{d\tau} \left(\frac{1}{\gamma(\tau)} \right) \ll \frac{1}{\gamma(\tau)},$$

то последнее уравнение является нелинейным дифференциальным уравнением с медленно меняющимися коэффициентами. Решение этого уравнения может быть найдено методом Н.Н.Боголюбова:

$$\xi = \xi_0 \exp [-\beta_{\Phi}(\tau) K(\tau)^{1/2} \int \cos \left(\frac{K(\tau)}{\beta_{\Phi}(\tau)} \right)^{1/2} d\tau] \quad /2-3/$$

Для фазовой устойчивости необходимо удовлетворить следующим условиям:

$$1/ \beta_{\Phi}(\tau) > 0, \quad K(\tau) > 0.$$

Из условия $K(\tau) > 0$ можно найти диапазон выбора фазы синхронной частицы. Как уже отмечалось выше, из анализа напряженностей поля замедленной волны в спиральном волноводе для нашего случая справедливо неравенство

$$\dot{\rho} \Pi_{\Phi} \ll E_z > \rho \dot{\Pi}_r,$$

поэтому условие $K(\tau) > 0$ требует при $\Delta > 0$

$$\sin \psi_s < 0, \quad \text{т.е.} \quad -\pi < \psi_s < 0.$$

Принимая во внимание /1-4/, получаем, что в области ускорения частиц синхронная фаза должна лежать в интервале

$$-\pi < \psi_s < -\pi/2.$$

В области же торможения

$$-\pi/2 < \psi_s < 0.$$

Далее, необходимо отметить два конкретных случая:

- 1/ $\dot{\rho} > 0$ /вращение по часовой стрелке/,
- 2/ $\dot{\rho} < 0$ /вращение против часовой стрелки/.

В первом случае

$$|E_{z0} \sin \psi_s| > |\rho \dot{\Pi}_r \sin \psi_s + \Pi_{e0} \dot{\rho}_s \cos \psi_s|$$

и $e\rho\dot{\phi}H_r$ - тормозящая сила по z , во втором случае

$$\sin\psi_s |(E_{z0} + \rho\dot{\phi}H_r)| > |H_{\phi 0}\dot{\rho}_s| \cos\psi_s$$

и $e\rho\dot{\phi}H_r$ - ускоряющая по z сила.

Т.к. для большого затухания фазовых колебаний необходимо иметь большую величину $\beta_{\phi}(\tau) \cdot K(\tau)$, то во втором случае следует ожидать большего затухания и, следовательно, лучшей фазировки.

Максимальный захват обеспечивается медленным изменением фазовой скорости волны. В настоящей работе мы искали некоторый оптимальный закон изменения фазовой скорости по z для двух случаев:

$$1/ \dot{\phi} < 0, \quad 2/ \dot{\phi} > 0 .$$

3. Результаты численного счета

Система уравнений /1-3/ при различных законах изменения фазовой скорости решалась на ЭВМ при следующих начальных данных:

$$\gamma_{\perp}(0) = 30, \quad \beta_z(0) = 0,2, \quad a = 6 \text{ см}, \quad b = 7 \text{ см}, \\ \frac{1}{r_0} = 5 \text{ см}, \quad \beta_r(0) = 0.$$

Были взяты следующие законы изменения фазовой скорости:

$$1/ \beta_{\phi} = S1/(S - T * S), \text{ где}$$

$$S1 = (S^2 - 1)^{1/2},$$

$$S = 1,02 + (-0,0208) / T \cdot \cos(T \cdot \eta) + \frac{0,0208}{T} \\ T = 0,5556 \cdot p .$$

Этот закон взят из работы^{/1/}, где p - градиент изменения синхронной фазы в град/см. Результат счета показан на рис. 1 ($\dot{\phi} < 0$, $p = 0,05$), 2 ($\dot{\phi} < 0$, $p = 0,08$), 3 ($\dot{\phi} < 0$, $p = 0,12$), 4 ($\dot{\phi} > 0$, $p = 0,05$).

На рис. 5 приведены законы изменения фазовой скорости, соответствующие различным p в этом варианте.

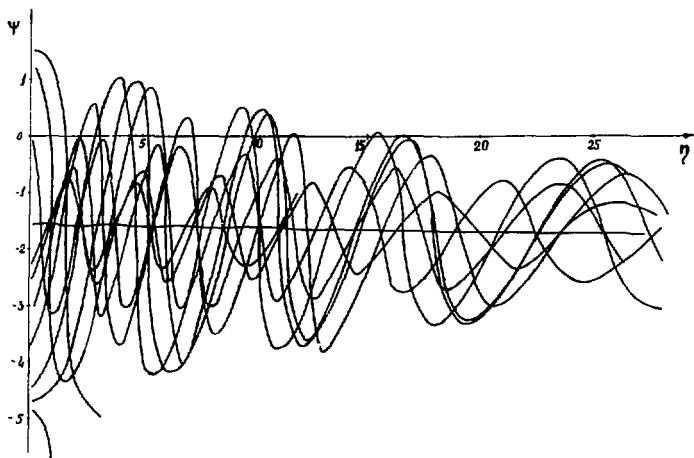


Рис. 1

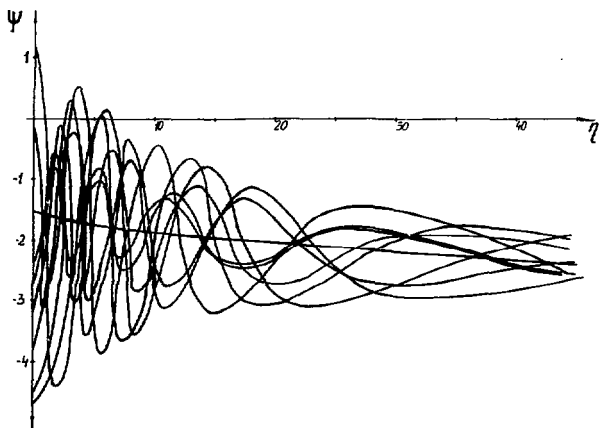


Рис. 2

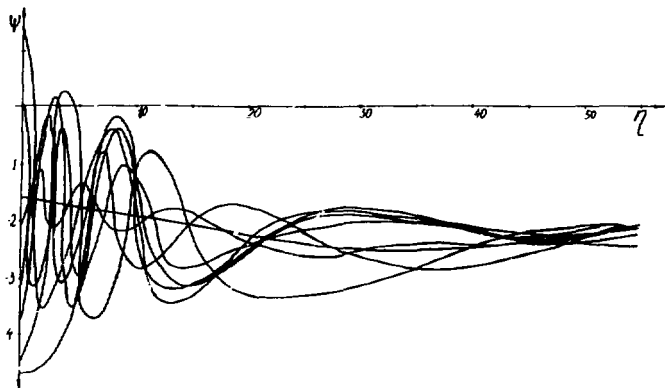


Рис. 3

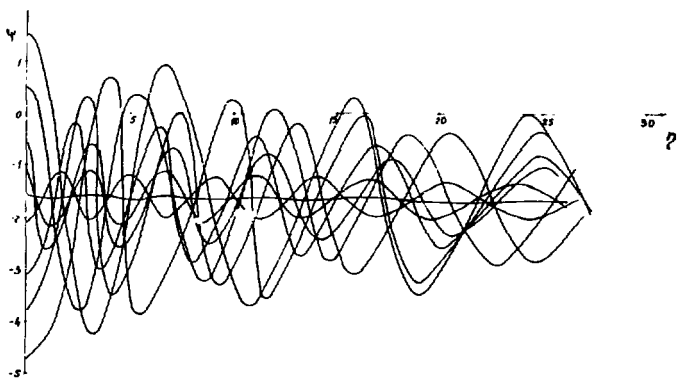


Рис. 4

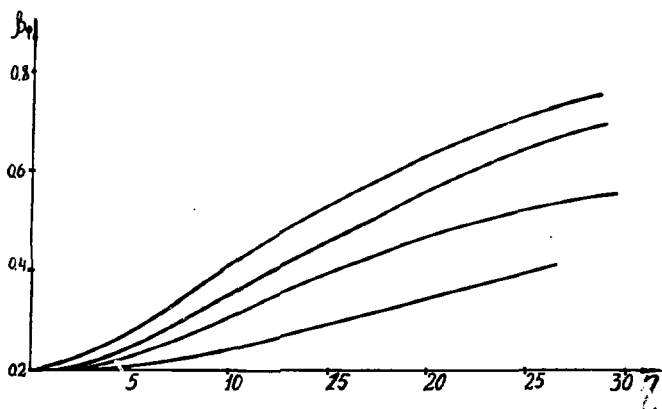


Рис. 5

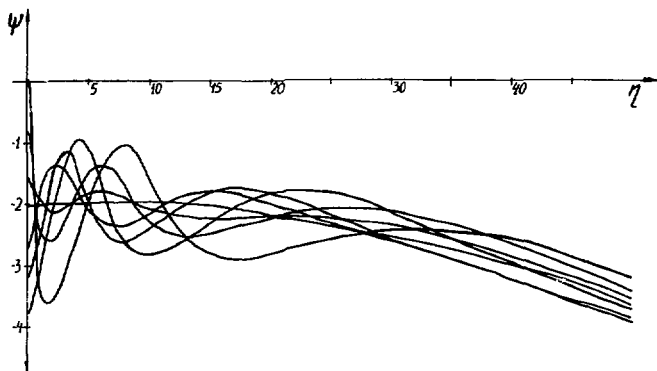


Рис. 6

2/ Второй закон изменения β_{ϕ} выбирался из условия $\psi_s = 0$. В этом случае β_{ϕ} определяется скоростью движения синхронной частицы,

$$\eta_s = \frac{1}{2} (A_1 \cdot \eta + A_4 \cdot \eta^2 + 4\beta_{\phi}^2 (A_3 \cdot \eta + 1))^{1/2},$$

где

$$A_1 = \frac{2A \rho_0 \dot{\phi}_0}{\gamma(0)} \cdot E_{\phi 0},$$

$$A_2 = \frac{A^2 E_{z0}}{\gamma(0)^2} (E_{z0} - \rho_0 \dot{\phi}_0 H_r),$$

$$A_3 = -a \frac{2A}{\gamma(0) \beta_0^2} (E_{z0} - \rho_0 \dot{\phi}_0 H_r - E_{z0} \beta_{\phi}^2),$$

$$A_4 = A_1^2 - 4A_2.$$

Здесь E_{z0} , H_{r0} , $H_{\phi 0}$, $E_{\phi 0}$ - постоянные амплитуды напряженности поля в начальный момент для синхронной частицы. Таким образом, этот закон изменения фазовой скорости волны обеспечивает синхронизм между движением синхронной частицы и волны. Фазовые траектории, соответствующие этому случаю, приведены на *рис. 6* ($\dot{\phi} < 0, \psi_s = -1,88$), *рис. 7* ($\dot{\phi} < 0, \psi_s = -2,00$) и *рис. 8* ($\dot{\phi} > 0, \psi_s = -1,88$).

Изменение фазовой скорости, соответствующее этому варианту, приведено на *рис. 9*. Кривая 1 соответствует $\psi_s = -1,88$. Кривая 2 - $\psi_s = -2,00$.

Сравнение вариантов можно провести из данных таблицы, в которой S - коэффициент захвата, k - коэффициент компрессии, равный

$\frac{\Delta \psi_{вх}}{\Delta \psi_{вых}}$, L - длина затухания.

Как видно из таблицы, спиральная система /с учетом всех 6 компонент напряженности поля замедленной электромагнитной волны/ обладает фазирующим свойством для электронных сгустков кольцевого типа с $\beta_{\phi} \approx 1$. При длине

Таблица I

		η	25	35	45	$S = \frac{\Delta\psi}{2\pi} 100\%$	L м
I $\dot{\psi} < 0$	E=0.05	$\kappa = \frac{\Delta\psi_{\text{из}}}{\Delta\psi_{\text{вс}}}$	3,0				
		β_z	0,56	0,68		97%	9,0
		$\gamma(\tau)$	34,9	38,9			
	E=0.08	κ	3,9	5,07			
		β_z	0,64	0,76	0,83	97%	5,0
		$\gamma(\tau)$	38,6	45,0	52		
	E=0.12	κ	4,35	6,35	15,2		
		β_z		0,81	0,84	95%	4,6
		$\gamma(\tau)$	43,2	52	56		
II $\dot{\psi} < 0$	$\psi_s = -1.88$	κ	4,75	6,55	5,3		
		β_z	0,75	0,85	0,94	79,5%	3,8
		$\gamma(\tau)$	46,2	57	68		
	$\psi_s = -2.0$	κ	12,1	7,2			
		β_z	0,81	0,87		73,3%	2,4
		$\gamma(\tau)$	49,7	59,8	72		
I $\dot{\psi} > 0$	E=0.05	κ	2,4				
		β_z	0,32			99%	12,5
		$\gamma(\tau)$	30				
	E=0.02	κ					
		β_z	0,28				
		$\gamma(\tau)$	30,4				
II $\dot{\psi} > 0$	$\psi_s = -1.88$	κ	3,96	6,2			
		β_z	0,34			73,3%	7,7
		$\gamma(\tau)$	31,4				

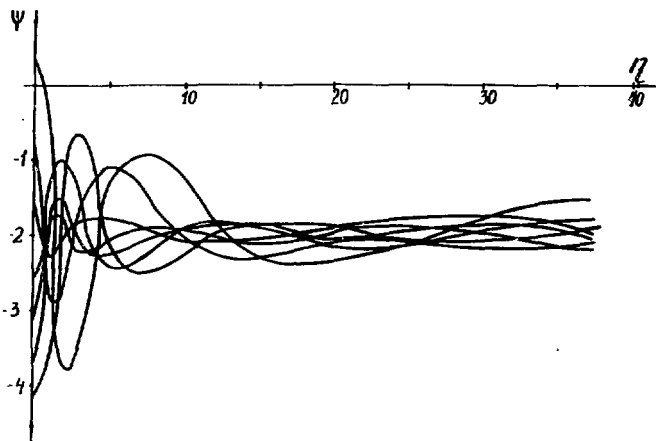


Рис. 7

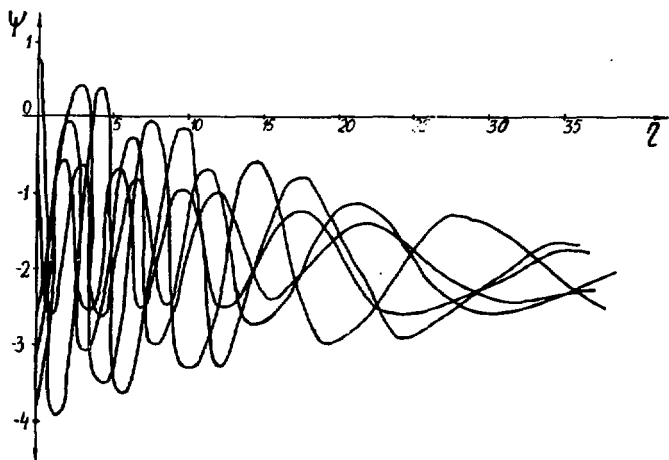


Рис. 8

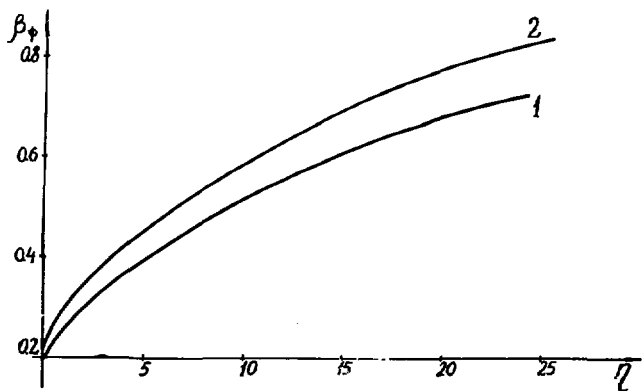


Рис. 9

системы около 5 м можно обеспечить захват с вероятностью 90%.

Следует отметить, что:

а/ медленное изменение фазовой скорости волны по z обеспечивает максимальный захват, но ухудшает условия фазировки. Поэтому для приемлемых величин коэффициента захвата и фазировки необходим некоторый оптимальный закон изменения фазовой скорости волны;

б/ особый интерес представляет случай, когда $\phi < 0$.

В этом случае сила $F = \frac{A}{\gamma(r)} \rho \dot{\phi} N_r$ увеличивает фазирующее свойство силы

$$F_e = \frac{A}{\gamma(r)} \cdot E_z$$

в/ фазировка в области замедления для нашего случая невыгодна, т.к. с уменьшением β_ϕ уменьшается эффективность фазировки и требуется большая начальная величина $\beta_\phi = \beta_z$ частицы.

В работе не приводится энергетический расчет системы и не учитывается количество частиц в сгустке.

В заключение авторы выражают благодарность сотруднику ЛВТА О Ен-Ир за помощь в составлении программ счета.

Литература

1. З.Г.Гаврилова, Г.А.Иванов. ОИЯИ, Р9-8227, Дубна, 1974.
2. А.И.Ахиезер, Я.Б.Файнберг. УФН, т. XIV, вып. 3, 1951, стр. 322.

Рукопись поступила в издательский отдел
18 апреля 1975 года.